基于十二碳烯醛的番茄红素全合成

Total synthesis of lycopene based on dodecatrienal

陈 果 晏日安 黎海梅 周 华 李存芝

CHEN GuoYAN Ri-anLI Hai-meiZHOU HuaLI Chun-zhi(暨南大学食品科学与工程系,广东 广州510632)

(Department of Food Science and Engineering, Jinan University, Guangzhou, Guangdong 510632, China)

摘要:以6,10-二甲基-3,5,9-十一烷三烯-2-酮(8)与亚甲基二磷酸四乙酯(7)经 Wittig-Horner 反应得到2,6,10-三甲基-1,3,5,9-四烯十一烷基膦酸二乙酯(9);以E-2-丁烯-1,4-二膦酸二乙酯(2)与4,4-二甲氧基-2-丁酮(3)通过 Wittig-Horner 反应和水解反应合成化合物3,8-二甲基-3,5,7-辛三烯-1,10-二醛(5),2,6,10-三甲基-1,3,5,9-四烯十一烷基膦酸二乙酯(9)与3,8-二甲基-3,5,7-辛三烯-1,10-二醛(5)通过 Wittig-Horner 反应得到目标产物番茄红素(10),并采用核磁共振(NMR)、质谱(HRMS/GC-MS)和红外光谱(IR)进行结构验证。结果表明,合成的番茄红素总产率为16.7%。

关键词:十二碳烯醛; Wittig-Horner 反应; 番茄红素; 全合成

Abstract: Diethyl [(1E,3E,5E)-2,6,10-trimethylundeca-1,3,5,9-tetraen-1-yl] phosphonate (9) was synthesized *via* a condensation between tetraethyl methylenebis(phosphonate) (7) and 6,10-dimethyl-3,5,9-undecatrien-2-one(8) by Wittig-Horner reaction, (3E,5E,7E)-3,8-dimethyldeca-3,5,7-trienedial (5) was prepared from (E)-tetraethyl but-2-ene-1,4-diylbis-(phosphonate) (2) and 4,4-dimethoxy-2-butanone (3) by Wittig-Horner reaction followed by hydrogenation. Lycopene was synthesized from diethyl [(1E,3E,5E)-2,6,10-trimethylundeca-1,3,5,9-tetraen-1-yl]phosphonate(9) and (3E,5E,7E)-3,8-dimethyldeca-3,5,7-trienedial (5) by Wittig-Horner reaction, the structure of products was confirmed by NMR, HRMS/GC-MS and IR techniques. The total yield was 16.7%.

Keywords: C_{12} -dialdehyde; Wittig-Horner reaction; lycopene; synthesis

番茄红素(lycopene)是一种具有营养与着色双重功

基金项目:广东省科技计划项目(编号:201903010070)

作者简介:陈果,男,暨南大学在读硕士研究生。

通信作者:晏日安(1962一),男,暨南大学教授,博士。

E-mail: yanrian813@163.com

收稿日期:2020-11-29

能的食品添加剂,属于类胡萝卜素的一种^[1]。番茄红素含有11个共轭双键和两个非共轭双键,这种结构所带来的较好抗氧化能力使其在预防骨质疏松、心血管等疾病、抗炎、降血脂及增强免疫力等方面具有重要的生物学功能^[2-4];番茄红素还可以降低患前列腺癌、消化道癌、乳腺癌等疾病的概率,在防治神经退行性疾病方面有积极作用^[5-7]。番茄红素的分子结构如图1所示。

目前,科研工作者主要采用天然提取法[8]和微生物 发酵法[9]来生产番茄红素,化学合成法因具有产率高、成 本低的特点[10],也在积极的探索中。当前最常用的方法 按照关键反应可分为 5 种: Wittig 反应法[11-13]、Wittig-Horner 反应法^[14-15]、醛—砜法^[16]、Heck 烯化反应法^[17] 和 Ramberg-Bäcklund 成烯法[18]。目前只有 Roche 和 BASE 公司采用 Wittig 反应法进行工业化生产,该法反 应速率快、产率高,但成本较高且使用的三苯膦试剂有 毒,还会产生副产物三苯膦氧化物,后处理困难[19]。为解 决上述问题, Babler等[15,20-23]采用 Wittig-Horner 反应 法,以2,7-二甲基-2,4,6-辛三烯-1,8-二醛(十碳烯醛)为 关键中间体与多步反应合成的 3,7,11-三甲基-1,4,6,10-四烯十二烷基膦酸二乙酯(C15 膦酸酯)以及其双键异构体 经 Wittig-Horner 反应制备番茄红素,该方法副反应少, 并且产生的副产物膦酸离子溶于水,易于分离[19]。番茄 红素合成子切断方式如图 2(I) 所示。但该方法 C15 磷酸 酯的合成步骤较多[20-23],中间产物 2,7-二甲基-2,4,6-辛 三烯-1,8-二醛制备步骤较长,操作不易[24-25]。

十碳烯醛的合成子切断方法如图 3 所示。Arjan 等[24]以富马酸二乙酯为原料,所得十碳烯醛产率为 40.5%,但反应条件苛刻。杨泽慧等[25]以五碳醛为原料, 所得十碳烯醛产率为48%,但反应原料不易获得。孙培

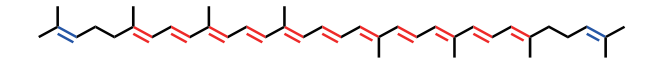


图 1 番茄红素的全反式分子结构

Figure 1 The all-trans molecular structure of lycopene

图 2 番茄红素的合成子切断方略

Figure 2 Lycopene synthesis sub-cutting strategy

Figure 3 C₁₀-dialdehyde synthesis sub-cutting strategy

东等[26]以1,4-二溴-2-丁烯和丙酮醛缩二甲醇为原料,所得十碳烯醛产率为58.7%。试验拟设计一种新的十二碳烯醛(5)全合成番茄红素的策略,优化番茄红素合成路线,其合成子切断方略如图2(II)所示。

依据合成策略,试验拟使用 2,6,10-三甲基-1,3,5,9-四烯十一烷基膦酸二乙酯(9)与 3,8-二甲基-3,5,7-辛三烯-1,10-二醛(十二碳烯醛)(5)进行 Wittig-Horner 反应得到番茄红素顺反异构体混合物,再通过转位异构得到全反式番茄红素。中间体 C_{14} 膦酸酯(9)可以通过假性紫罗兰酮(8)与四乙基亚甲基二磷酸酯(9)进行 Wittig-Horner 反应生成,克服合成 C_{15} 磷酸酯步骤多的缺点;中间体十二碳烯醛(5)由 2-丁烯-1,4-二磷酸四乙酯(2)与 4,4-二甲氧基-2-丁酮(3)通过 Wittig-Horner 反应及水解反应"一锅法"生成,替代原中间体十碳烯醛,以此来优化反应步骤,并考察原料摩尔比、碱用量和水解酸化时间对合成产物(5)反应过程的影响,以期为更有效合成番茄红素

提供依据。

1 材料与方法

1.1 材料与仪器

1.1.1 材料与试剂

氢化钠:质量分数为 60%, 萨恩化学技术(上海)有限公司;

叔丁醇钾:99.8%,萨恩化学技术(上海)有限公司; 1,4-二溴丁烯:99%,上海麦克林生化科技有限公司; 亚磷酸三乙酯:98%,萨恩化学技术(上海)有限公司;

四乙基亚甲基二磷酸酯:98%,萨恩化学技术(上海) 有限公司;

无水二甲基亚砜:99.8%, 萨恩化学技术(上海)有限公司;

乙醚:分析纯,广州市梓兴化玻仪器有限公司;

乙酸:99.5%, 萨恩化学技术(上海)有限公司;

无水四氢呋喃:99.8%, 萨恩化学技术(上海)有限公司:

4,4-二甲氧基-2-丁酮:90.0%,北京百灵威科技有限 公司:

假性紫罗兰酮:90.0%, 萨恩化学技术(上海)有限公司;

氘代氯仿:安诺论生物科技有限公司;

硅胶:200~300 目,青岛海洋化工有限公司;

二氯甲烷、正己烷、乙酸乙酯、氯化钠、无水硫酸钠、 氯化铵:分析纯,上海麦克林生化科技有限公司。

1.1.2 主要仪器设备

红外光谱仪: EQUI-NO \times 55 型,布鲁克光谱仪器有限公司;

核磁共振波仪:AVANCEⅢ型,瑞士布鲁克公司; 旋转蒸发仪:N-1300型,东京理化器械株式会社; 磁力搅拌器:MS-H-Pro型,美国赛洛捷克公司;

电子轰击电离质谱仪:QTRAP4500型,美国 Thermo 公司:

低温反应仪:PSL-1820型,东京理化器械株式会社; 电子天平:AL204型,瑞士梅特勒—托利多公司;

气相色谱一质谱联用仪:7890A-5975C型,安捷伦科技有限公司;

高效液相色谱仪:LC-20AT型,岛津企业管理有限公司:

高分辨质谱: X500R QTOF 型, 上海爱博才思分析仪器贸易有限公司。

1.2 试验方法

1.2.1 合成路线 番茄红素合成路线见图 4。

1.2.2 合成方法

(1) 2-丁烯-1,4-二磷酸四乙酯(2)的合成:将 1,4-二 溴丁烯(4.00 g,18.7 mmol)溶于亚磷酸三乙酯(18.50 g, 111.4 mmol)中,160 ℃下磁力搅拌 48 h 并冷凝回流,采 用薄层层析监测(TLC)。待反应结束并冷却至室温,柱 层析纯化 $(V_{-$ 氣甲烷</sub>: $V_{\text{甲醇}}=60:1)$,旋蒸洗脱液并真空干燥得到浅黄色液体 2-丁烯-1,4-二磷酸四乙酯(2)(6.02 g, 18.363 4 mmol),产率为 98.21%。

(2) 3,8-二甲基-3,5,7-三烯二醛(5)的合成:氮气保护下,200 mL 圆底烧瓶中加入氢氧化钠(2.40 g,60 mmol)和甲苯与环己烷($V_{\Psi*}:V_{\text{环己烷}}=1:1$)混合溶液 15 mL。反应瓶于 0 ℃下搅拌,将 2-丁烯-1,4-二磷酸四乙酯(1.97 g,6 mmol)溶于 20 mL 甲苯与环己烷($V_{\Psi*}:V_{\text{环己烷}}=1:1$)混合溶液中,并滴加至反应瓶后,继续搅拌 30 min。将 4,4-二甲氧基-2-丁酮(3.17 g,24 mmol)溶于 20 mL 甲苯与环己烷($V_{\Psi*}:V_{\text{环己烷}}=1:1$)混合溶液中,并滴加至反应瓶后,继续搅拌 20 min。反应液于室温反应 4 h。待反应结束,向反应液中滴加40 mL 质量分数为 10%的氯化钠溶液以淬灭反应,用20 mL 无水乙醚萃取 3 次,用饱和氯化钠洗涤有机层,减压除去溶剂,得到含化合物 4 的混合物。

将得到的混合物 4 置于 50 mL 圆底烧瓶中,加入 4 mL 冰乙酸,2 mL 四氢呋喃,1 mL 水,45 ℃下搅拌反应 6 h 后冷却至室温,常温下向反应体系中滴加 10 mL 质量分数为 10%的氯化钠溶液以稀释反应液,用乙醚与二氯甲烷($V_{\text{Z@}}:V_{-\text{MPR}}=4:1$)混合溶液萃取 3 次,用质量分数为 10%的氯化钠洗涤有机层至中性,无水硫酸钠干燥,除去溶剂,柱层析纯化($V_{\text{Elk}}:V_{\text{Z@Z@}}=4:1$),旋蒸洗脱液并真空干燥得到淡黄色固体 3,8-二甲基-3,5,7-三烯二醛(5)(0.25 g,1.28 mmol),产率为 21.4%。

(3) 2,6,10-三甲基-1,3,5,9-四烯十一烷基膦酸二乙酯(9)的合成:氮气保护下,0℃下,取氢化钠(0.40 g, 10 mmol)和15 mL 甲苯于 200 mL 圆底烧瓶中搅拌,将溶于 15 mL 甲苯中的亚甲基二磷酸四乙酯(2.22 g, 7.7 mmol)滴加至反应瓶,继续搅拌 0.5 h。将溶于 20 mL 甲苯中的 6,10-二甲基-十一烷三烯-2-酮(1.48 g, 7.7 mmol)滴加至反应瓶,继续搅拌反应 0.5 h,室温反应4 h。薄层层析监测(TLC),待反应结束,向反应液中滴加30 mL 饱和氯化铵溶液以淬灭反应,用 20 mL 无水乙醚

图 4 番茄红素合成路线

Figure 4 Synthetic route of lycopene

萃取 3 次,用饱和氯化钠洗涤有机层,减压除去溶剂,柱层析纯化($V_{\text{Edk}}:V_{\text{Z\&Z@}}=5:1$),旋蒸洗脱液并真空干燥得到淡黄色液体 2,6,10-三甲基-1,3,5,9-四烯十一烷基膦酸二乙酯(9)(1.97 g,6.04 mmol),产率为 78.4%。

(4) 番茄红素(10)的合成:氮气保护下,向 50 mL 圆底烧瓶中加入叔丁醇钾(2.53 mL,2.52 mmol)和 5 mL 四氢呋喃与二甲基亚砜($V_{\text{四氢呋喃}}:V_{\text{二甲基亚砜}}=8:1$)混合溶液。反应瓶于-30 $^{\circ}$ 下搅拌,将溶于 5 mL 四氢呋喃与二甲基亚砜($V_{\text{四氢呋喃}}:V_{\text{二甲基亚砜}}=8:1$)混合溶液的 2,6,10-三甲基-1,3,5,9-四烯十一烷基膦酸二乙酯(0.73 g,2.26 mmol)滴至反应瓶,搅拌反应 1 h。将溶于 5 mL 四氢呋喃与二甲基亚砜($V_{\text{四氢呋喃}}:V_{\text{二甲基亚砜}}=8:1$)混合溶液的 3,8-二甲基-3,5,7-三烯二醛(0.205 g,1.07 mmol)滴至反应瓶中,搅拌反应 0.5 h,室温反应 4 h。用 10 mL 氯仿萃取反应液 3 次,饱和氯化钠溶液洗涤有机层后用无水硫酸钠干燥。用二氯甲烷将得到的粗品进行重结晶。75~80 $^{\circ}$ 下,将重结晶得到的产品溶于无水乙醇中搅拌并冷凝回流 1 h。除去溶剂,得到全反式番茄红素(10)(0.36 g,0.68 mmol),产率为 63.8%。

2 结果与讨论

2.1 产物结构与表征

- 2.1.1 2-丁烯-1,4-二磷酸四乙酯(2)结构的鉴定
- (1) ¹H NMR (600 MHz, Chloroform-d) δ 5.67 \sim 5.38 (m,2H), 4.03 (dqt, J=14.1,7.0,3.0 Hz,8H), 2.66 \sim 2.30 (m,4H),1.24 (t,J=7.1 Hz,12H).
- (2) 13 C NMR (151 MHz, Chloroform-d) δ 123.32, 30,02,29,11,15.44 $_{\circ}$
 - (3) HRMS(ESI⁺) m/z: 329,127 7.
- 2.1.2 3,8-二甲基-3,5,7-三烯二醛(5)结构的鉴定
- (1) ¹H NMR (600 MHz, Chloroform-d) δ 10.10 (dd, J = 49.9, 7.8 Hz, 2H), 6.60 (d, J = 15.8 Hz, 1H), 6.21 \sim 6.08 (m, 1H), 6.05 \sim 5.90 (m, 2H), 3.55 \sim 3.34 (m, 4H), 2.39 \sim 2.18 (m, 3H), 2.17 \sim 1.97 (m, 3H),
- (2) ¹³C NMR (151 MHz, Chloroform-*d*) δ 190.19, 189.05,154.53, 150.79, 136.66, 131.56, 129.68, 126.35, 61.42,57.88,11.95,11.65。
- (3) GC-MS(m/z): 192, 163, 148, 119, 105, 91, 77, 69,51.
- 2.1.3 2,6,10-三甲基-1,3,5,9-四烯十一烷基膦酸二乙 酯(9)结构的鉴定
- (1) ¹H NMR (500 MHz, Chloroform-d), δ 6.75 (dd, J = 15.2, 11.0 Hz, 2H, = CH, = CH), 6.16 (d, J = 15.1 Hz, 1H, = CH), 5.93 \sim 5.46 (d, J = 11.0 Hz, 17.3 Hz, 1H, = CH), 5.14 \sim 5.00 (m, 1H, = CH), 4.06 (p, J = 7.2 Hz, 4H, 2 \times OCH₂), 2.23 (d, J = 2.7 Hz, 3H,

- CH_3),2.12 (d, J = 3.3 Hz, 4H, $2 \times CH_2$),1.83 (s,3H, CH_3),1.68 (s,3H, CH_3),1.60 (s,3H, CH_3),1.32~1.26 (d,t,J = 7.1 Hz,14.9 Hz,6H,2 $\times CH_3$).
- (2) ¹³C NMR (126 MHz, Chloroform-*d*) δ 155.57, 144.07,133.30,132.00,130.37,124.57,123.60,114.86, 61.35,40.23,31.51,29.70,26.50,25.69,17.71,17.13, 16.35,15.64,
- (3) GC-MS(m/z): 326, 311, 257, 229, 201, 145, 119 (100%), 105, 91, 69°

2.1.4 番茄红素(10)结构的鉴定

- (1) ¹H NMR (500 MHz, Chloroform-d) δ 6.67 \sim 6.59 (m,4H),6.49 (dd,J = 15.1,11.0 Hz,2H),6.35 (d,J = 14.9 Hz,2H),6.29 \sim 6.22 (m,4H),6.18 (d,J = 11.5 Hz,2H),5.95 (d,J = 10.9 Hz,2H),5.11 (ddq,J = 7.1,5.6,1.6 Hz,2H),2.12 (d,J = 5.3 Hz,8H),1.97 (s,12H),1.82 (d,J = 1.2 Hz,6H),1.69 (s,6H),1.61 (d,J = 1.3 Hz,6H).
- (2) 13 C NMR (126 MHz, Chloroform-d) δ 139.50, 137.35,136.55, 136.17, 135.40, 132.64, 131.75, 131.55, 130.08, 125.72, 125.15, 124.80, 123.95, 40.24, 26.70, 25.71,17.71,16.97,12.91,12.81 $_{\circ}$
 - (3) HRMS(ESI⁺) m/z C₄₀ H₅₆:536.436 2.
- (4) IR(KBr), v_{max} : 3 433,2 964,2 927,1 720,1 675, 1 379,1 095,802 cm⁻¹ $_{\circ}$

2.2 3,8-二甲基-3,5,7-三烯二醛(5)合成条件的优化

2.2.1 碱用量对化合物 5 产率的影响 制备含化合物 4 的混合物的反应溶剂为甲苯—环己烷 $(V_{\text{PF}*}:V_{\text{Fick}}=1:1)$,化合物 4 制备化合物 5 的溶剂为 4 mL 冰乙酸、2 mL 四氢呋喃、1 mL 水, $n_{\text{Rch}}:n_{\text{Rch}}:n_{\text{Rch}}:n_{\text{Rch}}$ 为 4:1,水解酸化时间 6 h,分别测定氢氧化钠加入量 1.4,1.9,2.4,2.9,3.4 g 时化合物 5 的产率,结果如表 1 所示。

Wittig-Horner 反应中若碱加入量少,则不能良好地 将膦酸酯的 α-碳进行去质子化从而生成碳负离子,降低 反应效率;若碱加入量过多,碱性太强,易产生大量缩醛 类化合物^[27],副产物增多,产率下降。由表 1 可知,当氢 氧化钠加入量为 2.4 g 时,产物5的产率最高,为21.4 %。

表 1 碱用量对化合物 5 产率的影响

Table 1 Effect of alkali dosage on the yield of compound 5

氢氧化钠加入量/g	化合物 5 产率/%
1.4	10.6
1.9	15.4
2.4	21.4
2.9	19.8
3.4	17.5

当氢氧化钠加入量从 1.4 g 逐渐增加到 2.4 g 时,膦酸酯的 α -碳去质子化越来越充分,产率逐渐增加,当氢氧化钠为 2.4 g 时产率最高,之后随着氢氧化钠加入量的增加,加剧了 4,4-二甲氧基-2-丁酮与碱的亲核反应,副产物增多,产率略有下降。因此,最佳氢氧化钠加入量为 2.4 g。 2.2.2 原料摩尔比对化合物 5 产率的影响 制备含化合物 4的混合物的反应溶剂为甲苯一环己烷($V_{\text{PF}}:V_{\text{YPZ}}=1:1$),氢氧化钠 2.4 g,反应时间 5 h,由化合物 4 的混合物制备化合物 5 的溶剂为 4 mL 冰乙酸、2 mL 四氢呋喃和 1 mL 水,水解酸化时间 6 h,分别测定 n_{Ke} 为 2:1,3:1,4:1,5:1,6:1 时化合物 5 的产率,结果如表 2 所示。

由表 2 可知, 当 $n_{\text{Kr} ext{ch} ext{3}} : n_{\text{Kr} ext{ch} ext{2}}$ 由 2 : 1 升至 4 : 1

时,化合物 5 的产率由 13.2% 上升至 21.4%。 理论上,化合物 3 与化合物 2 经 Wittig-Horner 反应的 n_{Rchh} : n_{Rchh} 为 2:1,但化合物 3 增加,会促进化学反应的正向进行,因此化合物 5 的产率增加。随着 n_{Rchh} : n_{Rchh} ; n_{Rch} ; n_{Rchh} ; n_{Rchh} ; $n_{\text{Rc$

表 2 原料摩尔比对化合物 5 产率的影响

Table 2 Effect of mole ratio of materials on the yield of compound 5

n 化合物 3 · n 化合物 2	化合物 5 产率/%
2:1	13.2
3:1	15.6
4:1	21.4
5:1	20.7
6:1	17.8

表 3 水解酸化时间对化合物 5 产率的影响

Table 3 Effect of hydrolysis acidification time on the yield of compound 5

水解时间/h	化合物 5 产率/%
2	9.7
4	14.8
6	21.4
8	21.7
10	20.1

由表 3 可知,随着反应时间从 2 h 延长至 6 h,化合物 5 的产率增加,水解酸化 6,8,10 h 时化合物 5 的产率趋于稳定,说明反应时间为 6 h 时反应已进行完全,考虑时间成本,水解酸化的最优时间为 6 h。

探讨以盐酸替代冰醋酸进行酸化,但得到的产物产率较少,颜色较深,显橙黄色;这可能是由于冰醋酸是中等强度的酸,而盐酸是强酸,加入量过多易导致反应物炭化,产率降低。

3 结论

以假性紫罗兰酮经 Wittig-Horner 反应获得 C_{14} 膦酸酯(9),以 E-2-丁烯-1,4-二膦酸二乙酯与 4,4-二甲氧基-2-丁酮通过 Wittig-Horner 反应和水解反应合成十二碳烯醛(5),两化合物通过 Wittig-Horner 反应、异构化反应制备全反式番茄红素。结果表明,试验设计的以十二碳烯醛(5)为核心的合成路线是可行的。与现有的工艺相比,基于十二碳烯醛的制备为特征的合成路线;有效地将工业中产率低且昂贵的十碳烯醛替换成原料廉价易得,"一锅法"合成的十二碳烯醛(5)。番茄红素总体合成步骤短,反应产率为 16.7%,有潜在的开发前景。

参考文献

- [1] 李睿. 番茄中番茄红素提取工艺的比较研究[J]. 应用化工, 2020, 49(12): 2 994-2 997.
- [2] 朱原, 张永英, 朱海波, 等. 番茄红素生物学功能研究进展[J]. 食品研究与开发, 2020, 41(18): 202-207.
- [3] PETYAEV I M, DOVGALEVSKY P Y, KLOCHKOV V A, et al. Effect of lycopene supplementation on cardiovascular parameters and markers of inflammation and oxidation in patients with coronary vascular disease[J]. Food Science & Nutrition, 2018, 6(6): 1770-1777.
- [4] CLINTON S K. Lycopene: Chemistry, biology, and implications for human health and disease[J]. Nutrition Reviews, 1998, 56(2): 35-51.
- [5] BI Su-yun, LI Li, GU Heng, et al. Lycopene upregulates ZO-1 and downregulates claudin-1 through autophagy inhibition in the human cutaneous squamous cell carcinoma cell line COLO-16[J]. Journal of Cancer, 2019, 10(2): 510-521.
- [6] COSTA-RODRIGUES J, PINHO O, MONTEIRO P R R. Can lycopene be considered an effective protection against cardiovascular disease[J]. Food Chemistry, 2018, 245; 1 148-1 153.
- [7] 王维,郑霖,李若琪,等.番茄红素与神经健康[J].食品与药品,2020,22(4):335-340.
- [8] 盛亚男, 王长远, 张舒, 等. 绿豆多酚提取工艺优化及抗氧化活性研究[J]. 食品与机械, 2019, 35(10): 193-196.
- [9] MARTINEZ-CAMARA S, RUBIO S, DEL RIO H, et al. Lycopene production by mated fermentation of blakeslea trispora [J]. Methods in Molecular Biology, 2018, 1 852:

257-268.

- [10] 陈瑶. 番茄红素生产工艺研究进展[J]. 化工设计通讯, 2016, 42(12): 58-62.
- [11] FUKUMOTO T H K O K. Process for the preparation of phosphonium salts: US 5481040[P]. 1996-01-02.
- [12] 李卓才,鲁波,尹红,等.番茄红素化学合成的研究进展[J].合成化学,2006(2):118-121.
- [13] MEYER K. Method for the manufacture of carotinoids and the novel intermediates: US 5166445 [P]. 1992-11-24.
- [14] 李昆明. β -胡萝卜素的合成工艺研究[D]. 杭州: 浙江大学, 2016: 8-10.
- [15] BABLER J H P H W. C-15 phosphonate reagent compositions for the manufacture of compounds such as lycopene and methods of synthesizing the same: US 5973179 [P]. 1999-10-26.
- [16] GUHA S K, KOO S. Sulfone coupling and double-elimination strategy for carotenoid synthesis [J]. The Journal of Organic Chemistry, 2005, 70(23): 9 662-9 665.
- [17] 穆小青, 晏日安, 谭奇坤, 等. 新型高倍二肽甜味剂的制备与表征[J]. 食品与机械, 2019, 35(12): 36-41.
- [18] JI M, CHOI H, JEONG Y C, et al. Allylic sulfones containing triene moieties as key synthons for carotenoid synthesis[J]. Helvetica Chimica Acta, 2003, 86(7): 2 620-2 628.
- [19] 张希波, 刘洪海, 张晓丽, 等. 番茄红素化学合成的研究进

展[]]. 西北药学杂志, 2009, 24(1): 78-80.

- [20] SHEN Run-pu, JIANG Xiao-yue, YE Wei-dong, et al. A novel and practical synthetic route for the total synthesis of lycopene[J]. Tetrahedron, 2011, 67(31): 5 610-5 614.
- [21] 马文鑫,梁智平,王渭军,等.番茄红素的全合成[J].中国 药科大学学报,2013,44(5):390-393.
- [22] SONG Xiao-hua, XU Hui-ting, YE Wei-dong, et al. Practical synthesis of lycopene[J]. Organic Preparations and Procedures International, 2016, 48(4): 350-354.
- [23] 谭奇坤, 陈果, 彭青霞, 等. 基于 α -叔碳- β , γ -不饱和醛的制备全合成番茄红素[J]. 精细化工, 2020, 37(3): 561-566.
- [24] VAN WIJK A, LUGTENBURG J. Synthetic scheme for the preparation of C-13-labeled 2, 7-dimethylocta-2, 4, 6-triene-1,8-dial, the central part of carotenoids[J]. European Journal of Organic Chemistry, 2002, 2 002 (24): 4 217-4 221.
- [25] 杨泽慧, 闫海英, 李茂林, 等. 2,7-二甲基-2,4,6-辛三烯-1,8-二醛合成新工艺研究[J]. 浙江大学学报(理学版),2005(6):668-673.
- [26] SUN Pei-dong, WANG Jian-xin, FANG Zhi-kai, et al. Synthesis of crocetin dimethyl ester with wittig and wittig-horner reaction[J]. Chemical World, 2012(6): 353-357.
- [27] 汤丹丹, 方志凯, 孙培冬, 等. 2,7-二甲基-2,4,6-辛三烯二醛的合成研究[J]. 化学研究与应用, 2010, 22(9): 1 217-1 219.

(上接第136页)

进一步提升系统筛选的准确率。

5 结论

设计了青豆在线筛选系统,利用错位安装的双线阵 CCD 相机实时采集多通道自由下落青豆的双面图像,实现了对青豆颗粒的全方位检测,解决了现有自动检测设备只能进行单面检测的问题,有效提高了检测装备的筛选精度。针对残次品青豆所开发的颜色以及形状特征检测算法简便、实用性强、处理效率更高。系统图像处理算法中,基于各类青豆样本统计特征得到的阈值受样本数量的影响,其鲁棒性还有待增强,以及在生产实际运行过程中进一步提高软硬件的稳定性。

参考文献

- [1] 王奕. 基于机器视觉图像提取的马铃薯内部病虫害特征识别[J]. 食品与机械, 2019, 35(9): 151-155.
- [2] 周航, 杜志龙, 武占元, 等. 机器视觉技术在现代农业装备领域的应用进展[J]. 中国农机化学报, 2017, 38(11): 86-92.
- [3] 崔欣,张鹏,赵静,等.基于机器视觉的玉米种粒破损识别方法研究[J]. 农机化研究, 2019, 41(2): 28-33, 84.
- [4] 吴杰. 基于机器视觉的圣女果分级分选机[D]. 银川:宁夏大学,2017:57.

- [5] 邓立苗, 韩仲志, 徐艳, 等. 基于机器视觉的马铃薯智能分级系统[J]. 食品与机械, 2014, 30(5): 144-146.
- [6] 龚朝勇. 基于机器视觉裂颖稻种在线双面识别与剔除系统研究[D]. 杭州: 浙江大学, 2016: 87.
- [7] PARK S B, JEONG D S. Design and implementation of serial communication for IoT sensing technology[J]. The Journal of the Convergence on Culture Technology, 2017, 3(3): 27-30.
- [8] 唐曦文. 多线程在仪器控制软件设计中的研究与应用[J]. 航空精密制造技术,2020,56(4):23-25,32.
- [9] 陈平,李毅红. 基于线阵 CCD 的小物体掉落自动检测系统[J]. 制造业自动化, 2013, 35(4): 45-49.
- [10] 王佳乐. 速冻青豆残次品机器视觉在线检测与剔除方法[D]. 天津: 天津科技大学, 2019: 72.
- [11] LI Peng, HUANG Yong, YAO Kun-lun. Multi-algorithm fusion of RGB and HSV color spaces for image enhancement[C]// 第 37 届中国控制会议论文集. 北京:中国自动化学会控制理论专业委员会, 2018: 6.
- [12] 刘飞. 基于形态和颜色特征的小麦籽粒分类识别[D]. 郑州: 河南农业大学, 2018: 39.
- [13] 殷蓉,高珏,孟国飞.一种应用圆形度的番茄形状分级方法[J]. 常熟理工学院学报(自然科学),2013,27(4):100-103.